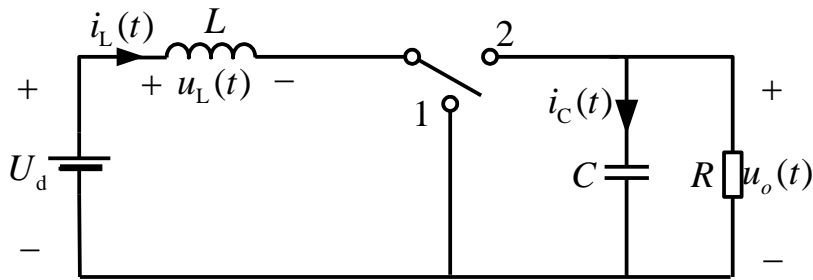
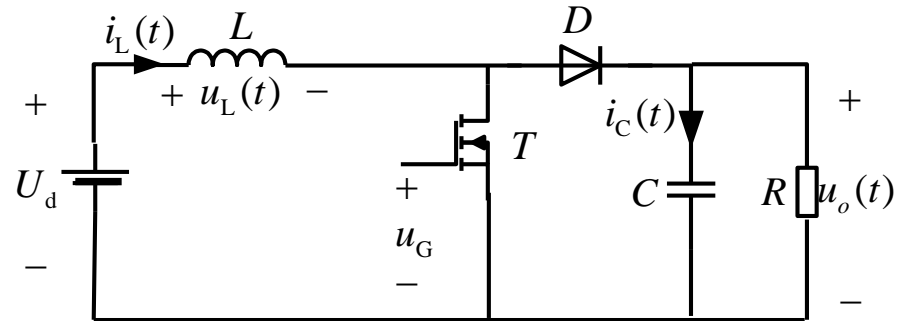


2.3 直流升压变换电路 (Boost电路)

- Boost变换器是另一DC-DC变换电路，能产生高于直流输入电压幅值的直流输出电压



(a) 采用理想开关

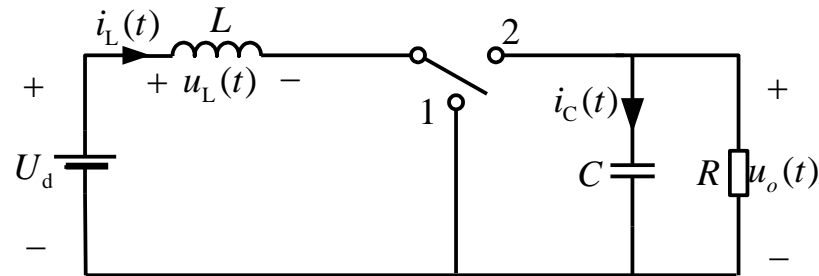


(b) 采用实际器件MOSFET和二极管

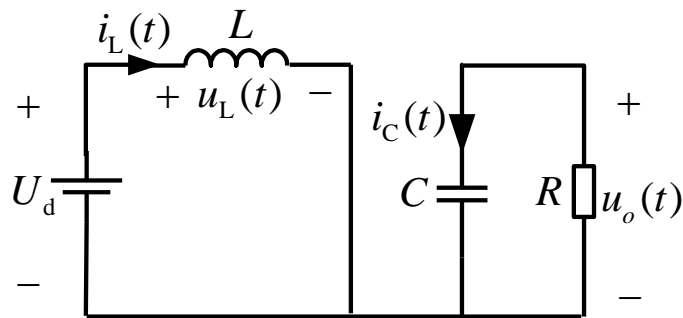
- Boost变换器电感电流连续时的工作情况
- Boost变换器电感电流断续时的工作情况

2.3 直流升压变换电路 (Boost电路)

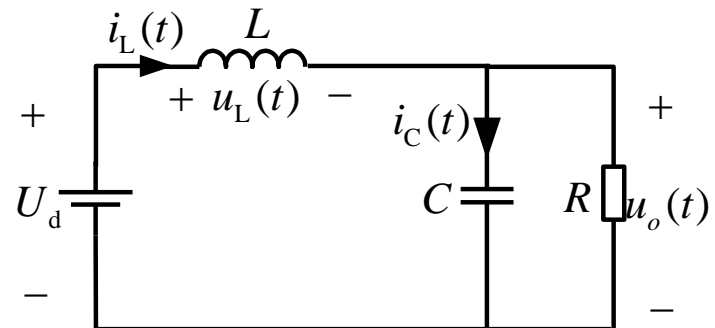
2.3.1 Boost变换器电感电流连续时的工作情况



(a) 采用理想开关

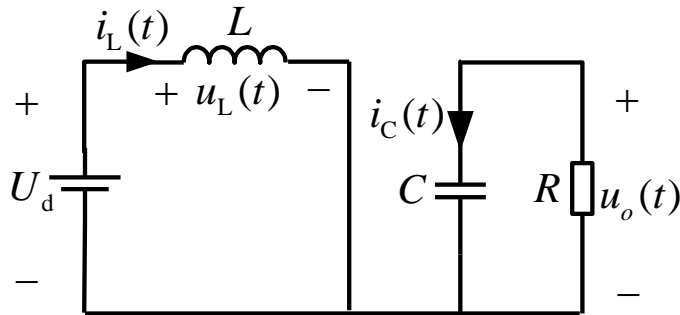


(a) 开关置于1时

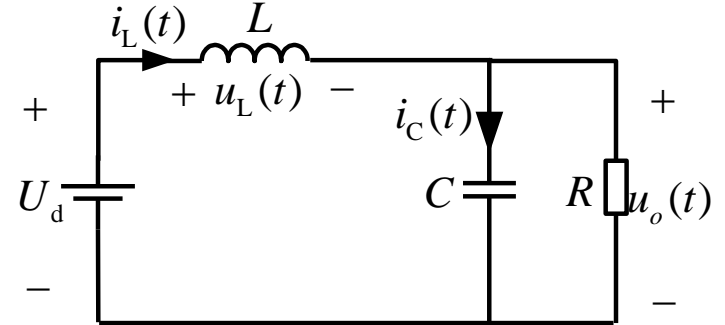


(b) 开关置于2时

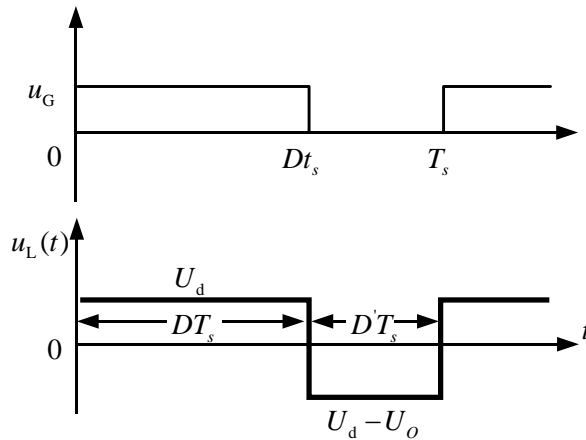
2.3 直流升压变换电路 (Boost电路)



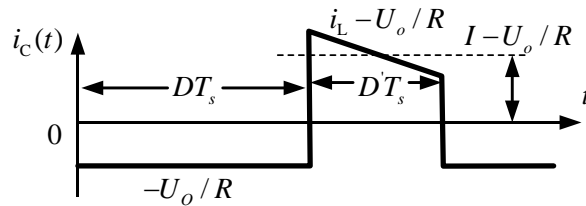
(a) 开关置于1时



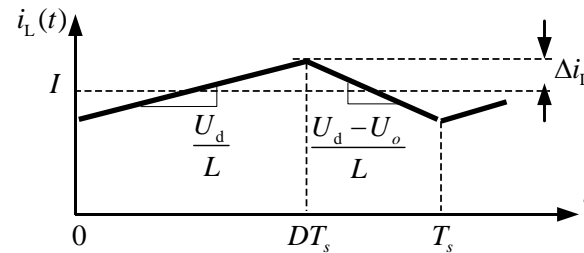
(b) 开关置于2时



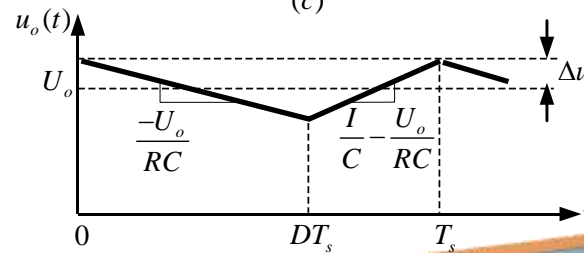
(a)



(b)

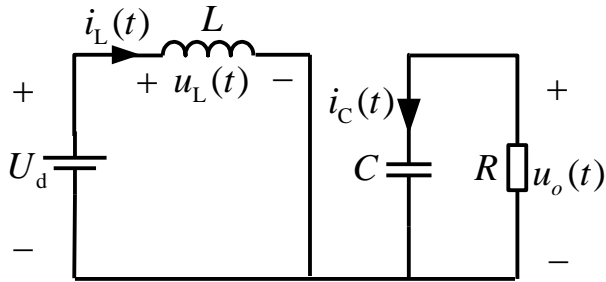


(c)



(d)

2.3 直流升压变换电路 (Boost电路)



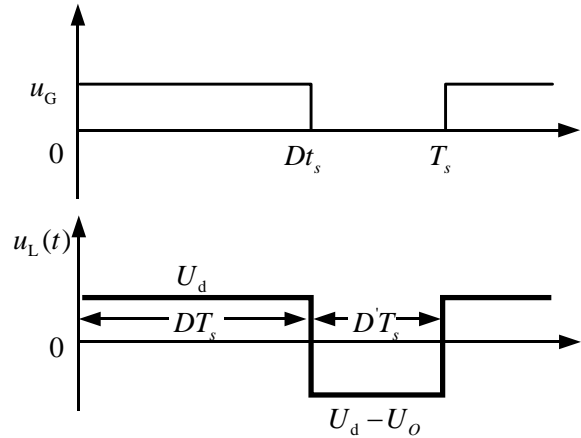
(a) 开关置于1时

$$u_L = U_d$$

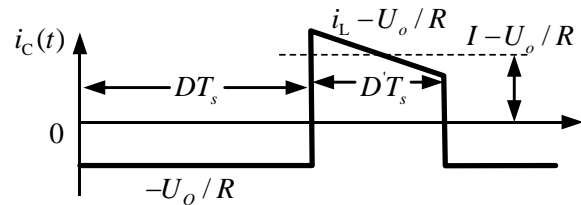
$$i_C = -\frac{u_o}{R}$$

采用小纹波近似：

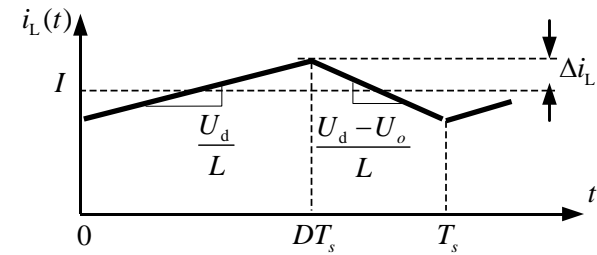
$$i_C = -\frac{U_o}{R}$$



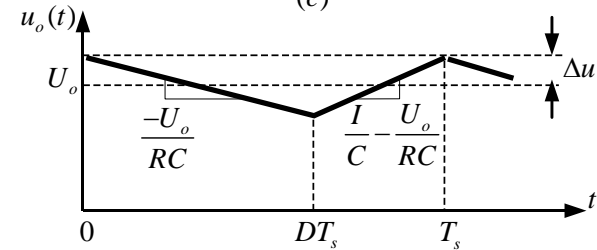
(a)



(b)



(c)

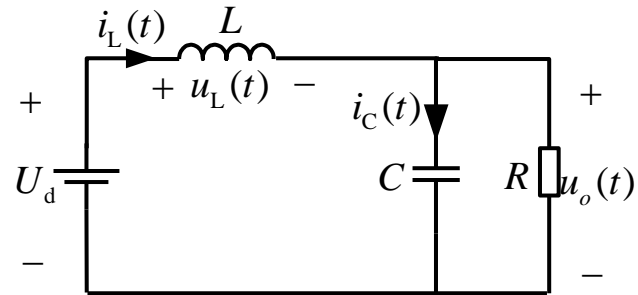


(d)

Boost 变换器电压和电流波形

2.3 直流升压变换电路 (Boost电路)

(b) 开关置于2时



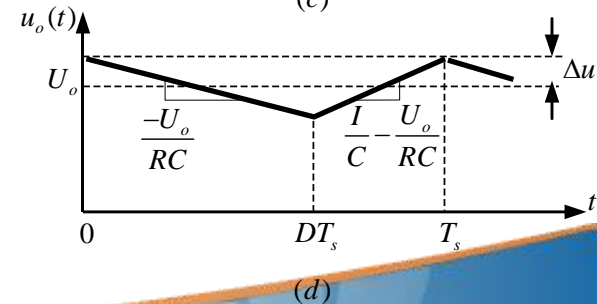
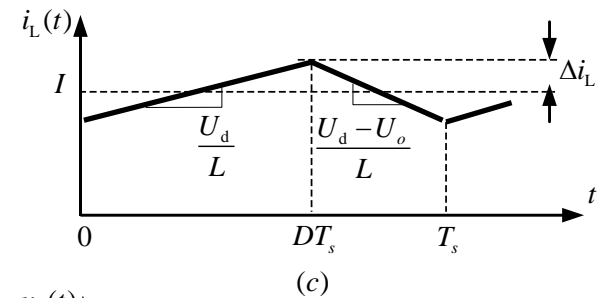
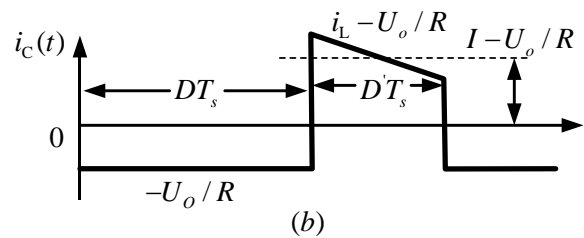
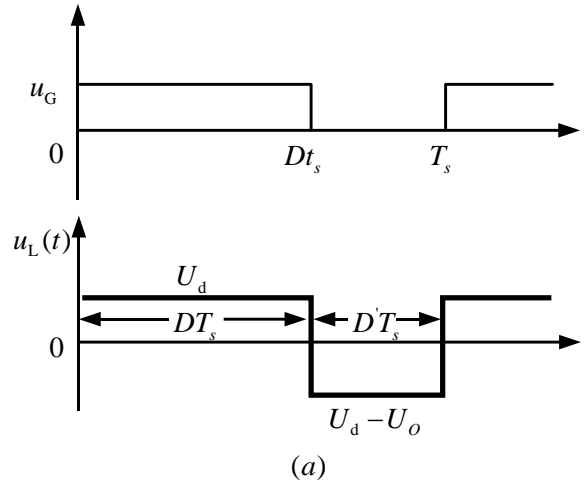
$$u_L = U_d - u_o$$

$$i_C = i_L - \frac{u_o}{R}$$

采用小纹波近似：

$$u_L = U_d - U_o$$

$$i_C = I - \frac{U_o}{R}$$



2.3 直流升压变换电路（Boost电路）

Boost变换器的变换比

在一个开关周期，电感的总伏秒值为

$$\int_0^{T_s} u_L(t) dt = (U_d) DT_s + (U_d - U_o) D' T_s$$

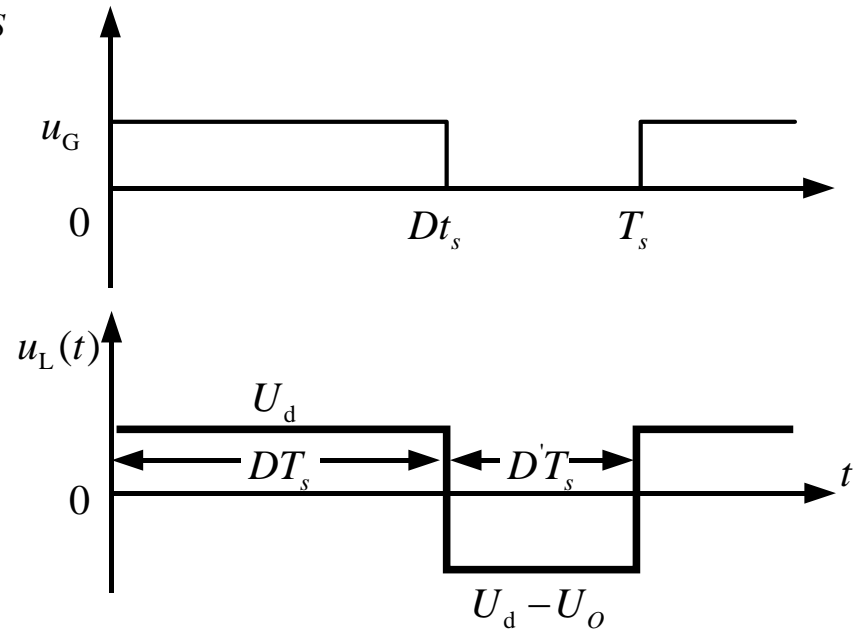
稳态时，电感伏秒平衡：

$$U_d (D + D') - U_o D' = 0$$

由于 $D + D' = 1$ 得 $U_o = \frac{U_d}{D'}$

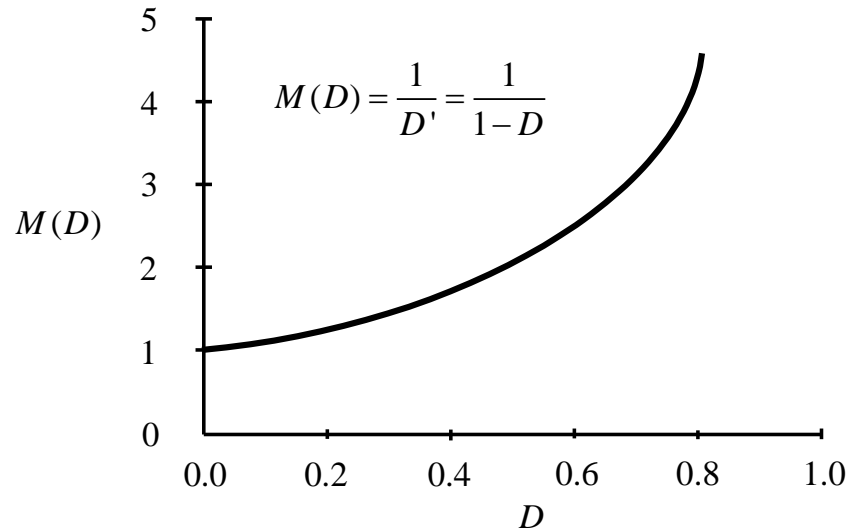
Boost变换器的电压变换比为

$$M(D) = \frac{U_o}{U_d} = \frac{1}{D'} = \frac{1}{1-D}$$



2.3 直流升压变换电路（Boost电路）

Boost变换器的变换比



Boost变换器直流变换比 $M(D)$

- 在 $D=0$ 时 $U_0=U_d$, 当 D 增大时输出电压上升, 在理想情况当 D 趋于1时输出电压趋于无穷大。所以, 理想的 Boost变换器可以产生任何高于输入电压的输出电压。当然, 实际的 Boost变换器的输出电压是有限的。

2.3 直流升压变换电路 (Boost电路)

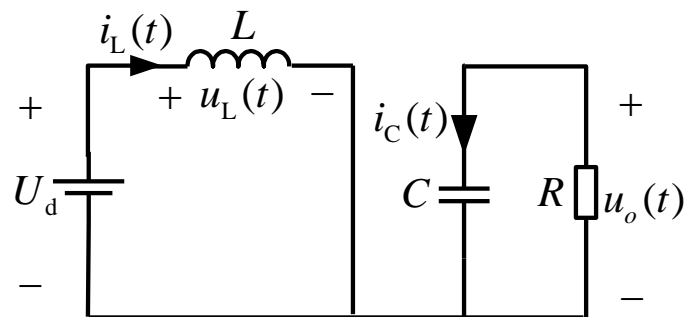
电感电流的直流成分

- 应用电容安秒平衡原理可以推导电感电流的直流成分。在第一个子区间, 电容提供负载电流, 电容部分放电。在第二个子区间, 电感电流提供负载电流, 另外给电容再充电。经过一个开关周期, 电容电荷的总改变量是图2.19 (b) 的 $i_C(t)$ 波形的积分

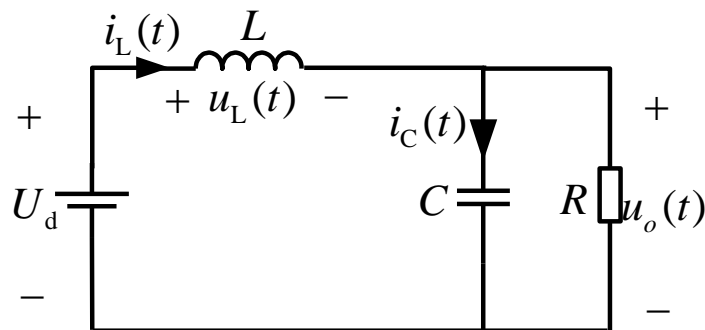
$$\int_0^{T_s} i_C(t) dt = \left(-\frac{U_o}{R} \right) DT_s + \left(I - \frac{U_o}{R} \right) D'T_s$$

应用电容充电平衡原理

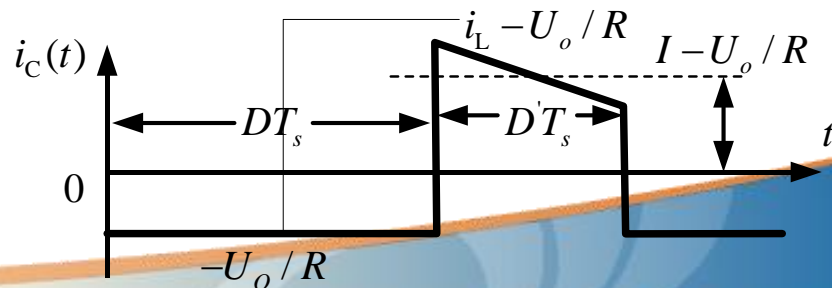
$$-\frac{U_o}{R} (D + D') + ID' = 0$$



(a) 开关置于1时



(b) 开关置于2时

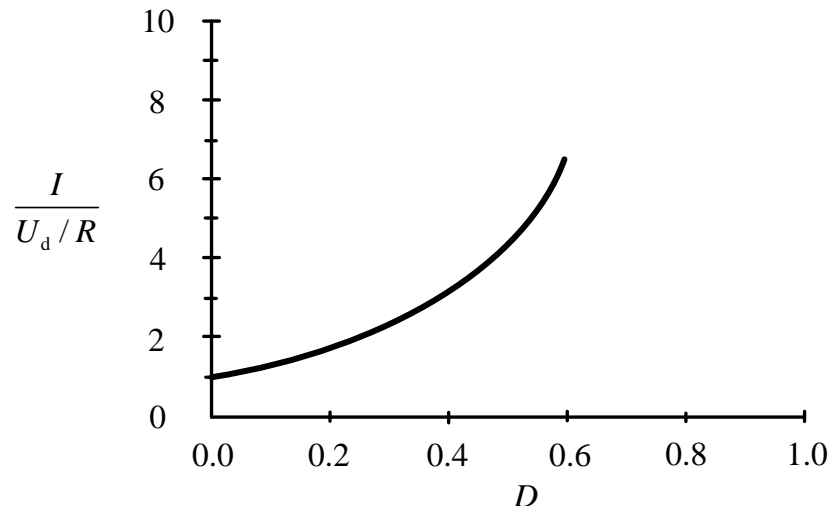


2.3 直流升压变换电路（Boost电路）

电感电流的直流成分

又由于 $D + D' = 1$ 得 $I = \frac{U_o}{D'R}$ $I = \frac{U_d}{D'^2 R}$

- 当D趋于1时电感电流变得很大。此电感电流与 Boost变换器的直流输入电流一致，大于负载电流。若变换器元件为理想元件，则变换器的输入与输出功率相等。因为变换器输出电压高于输入电压，所以输入电流必然大于输出电流。



Boost变换器电感电流直流成分随占空比的变化情况

2.3 直流升压变换电路（Boost电路）

电感电流纹波

(a) 开关置于1时，电感电流的斜率为

$$\frac{di_L(t)}{dt} = \frac{u_L(t)}{L} = \frac{U_d}{L}$$

(b) 开关置于2时，电感电流的斜率为

$$\frac{di_L(t)}{dt} = \frac{u_L(t)}{L} = \frac{U_d - U_o}{L}$$

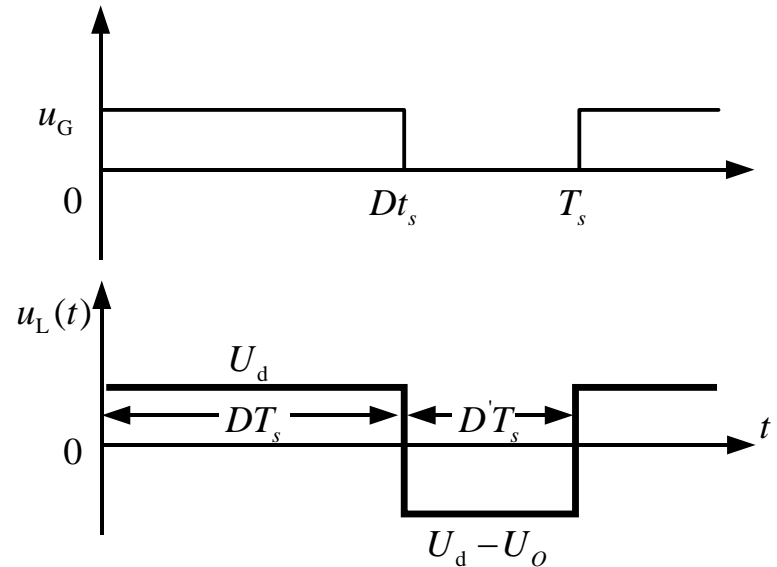
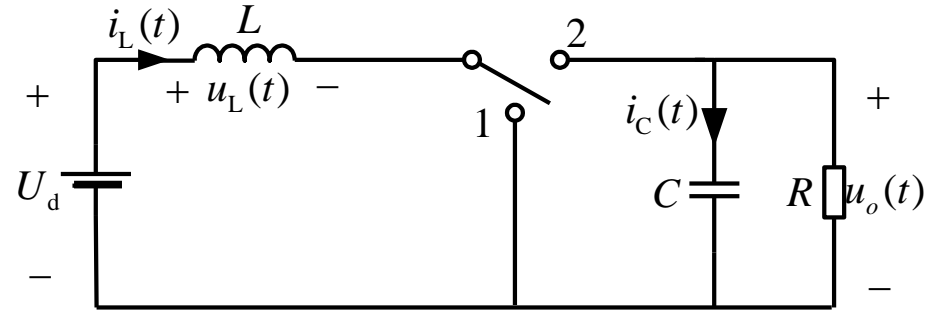
在第一个子区间电感电流的变化量 $2\Delta i_L$ 等于斜率乘子区间的长度

$$2\Delta i_L = \frac{U_d}{L} DT_s$$

所以

$$\Delta i_L = \frac{U_d}{2L} DT_s$$

可用于给定 Δi_L 时选择电感值 L



2.3 直流升压变换电路（Boost电路）

输出电压纹波

(a) 开关置于1时，电容电压波形 $u(t)$ 的斜率为

$$\frac{du_C(t)}{dt} = \frac{i_C(t)}{C} = \frac{-U_o}{RC}$$

(b) 开关置于2时，电容电压波形 $u(t)$ 的斜率为

$$\frac{du_C(t)}{dt} = \frac{i_C(t)}{C} = \frac{I}{C} - \frac{U_o}{RC}$$

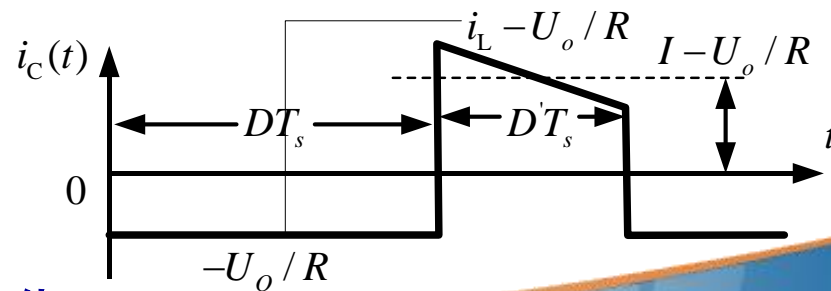
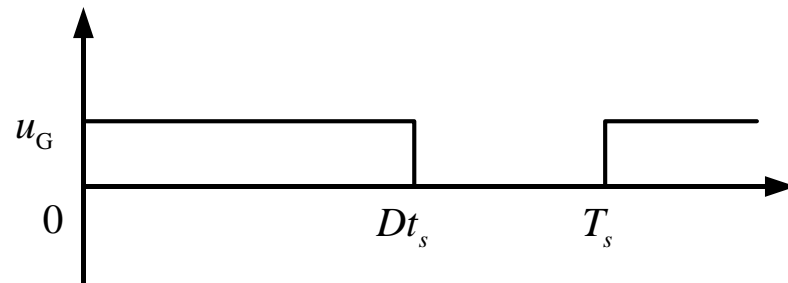
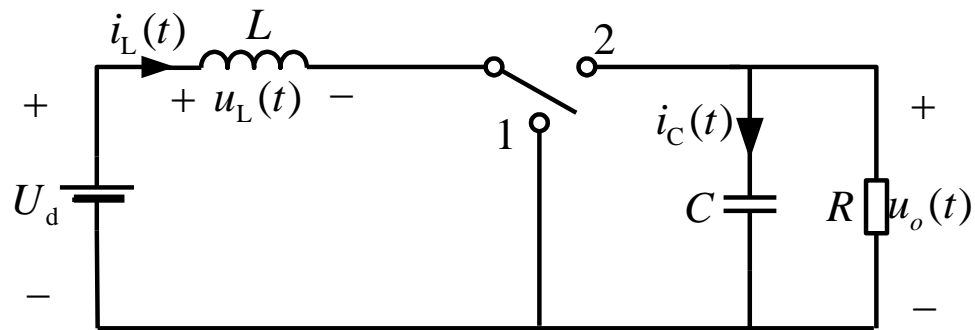
在第一个子区间，电容电压的变化量 $2\Delta u_o$ 等于斜率乘子区间长度，即

$$-2\Delta u_o = \frac{-U_o}{RC} DT_s$$

所以

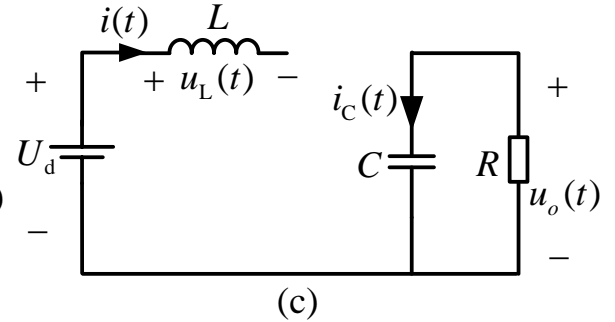
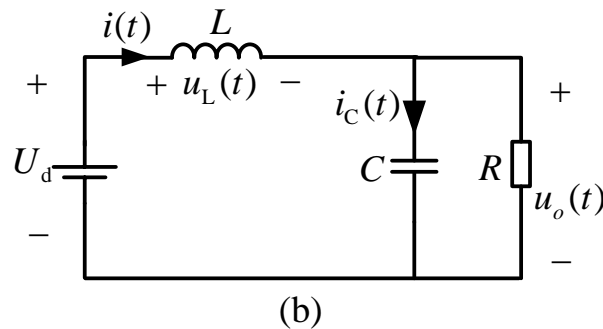
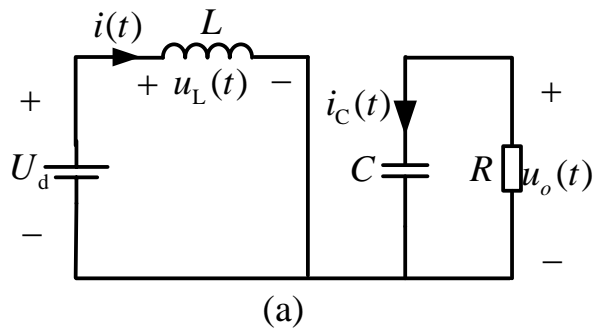
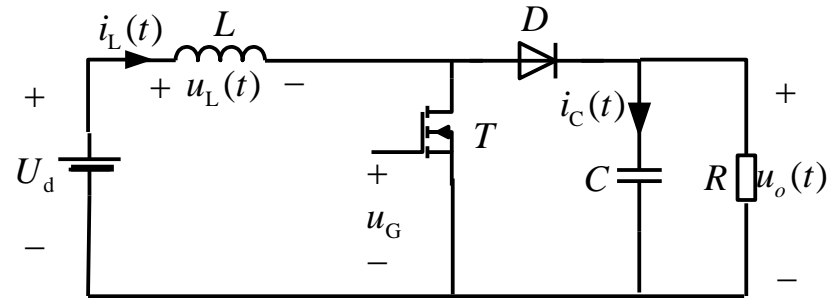
$$\Delta u_o = \frac{U_o}{2RC} DT_s$$

此表达式可用于给定输出电压纹波峰值时选择电容值



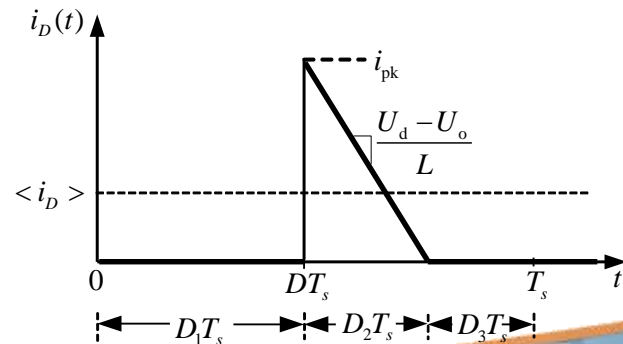
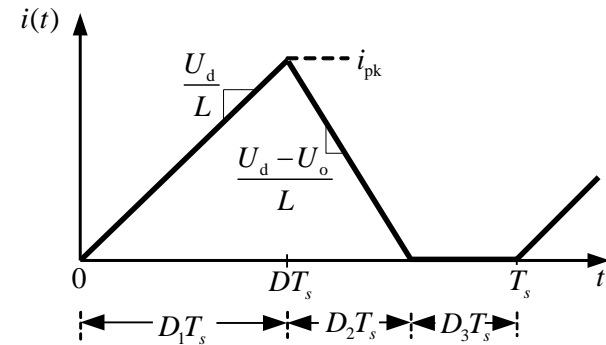
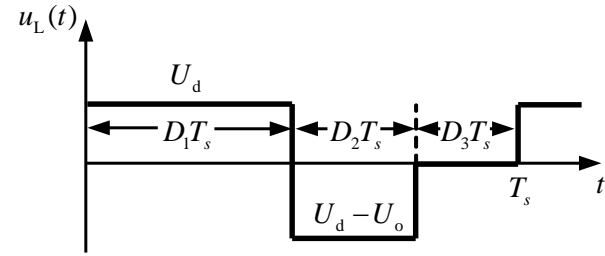
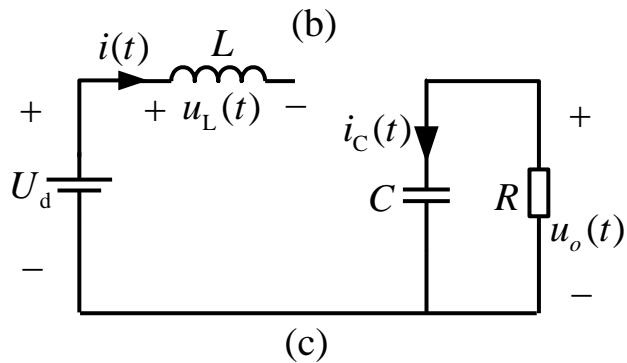
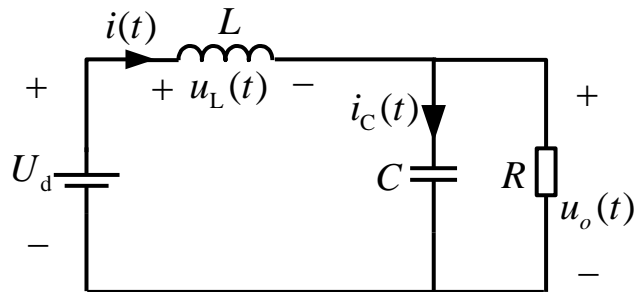
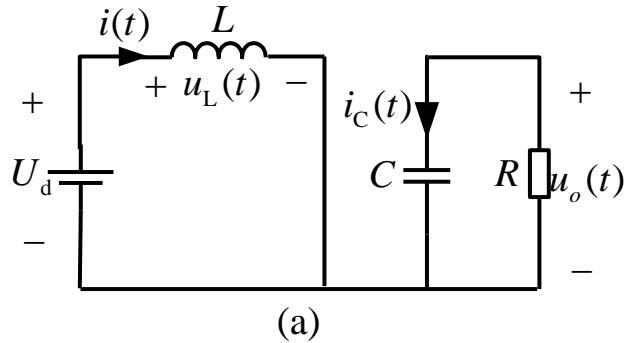
2.3 直流升压变换电路 (Boost电路)

2.3.2 Boost变换器电感电流断续时的工作情况



2.3 直流升压变换电路 (Boost电路)

2.3.2 Boost变换器电感电流断续时的工作情况



2.3 直流升压变换电路 (Boost电路)

临界条件

Boost变换器工作于连续和断续导通模式的条件为:

$$I > \Delta i_L \quad \text{对于CCM}$$

$$I < \Delta i_L \quad \text{对于DCM}$$

这与Buck变换器的结论相同。将CCM时 I 和 Δi_L 的结论式(2.71)和式(2.75)代入, 得

$$\frac{U_d}{D'^2 R} > \frac{DT_s U_d}{2L} \quad \text{对于CCM}$$

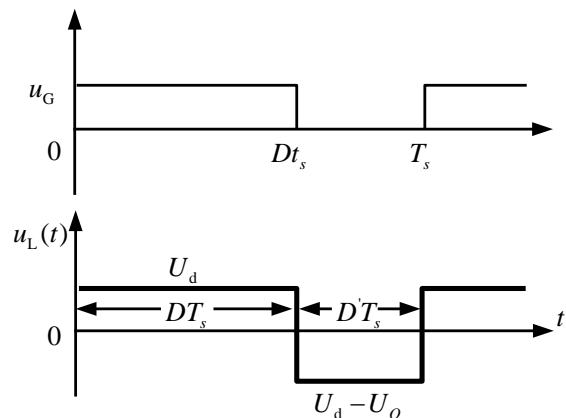
$$\frac{2L}{RT_s} > DD'^2 \quad \text{对于CCM}$$

得到标准形式为:

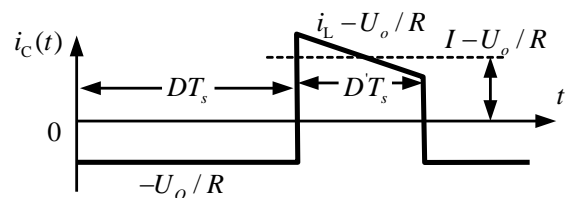
$$K > K_{crit}(D) \quad \text{对于CCM}$$

$$K < K_{crit}(D) \quad \text{对于DCM}$$

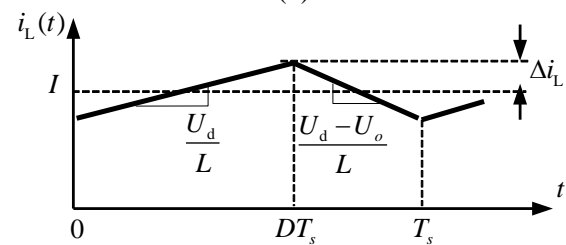
$$K = \frac{2L}{RT_s} \quad \text{和} \quad K_{crit}(D) = DD'^2$$



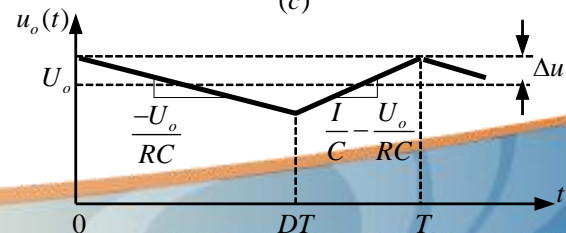
(a)



(b)



(c)



(d)

2.3 直流升压变换电路 (Boost电路)

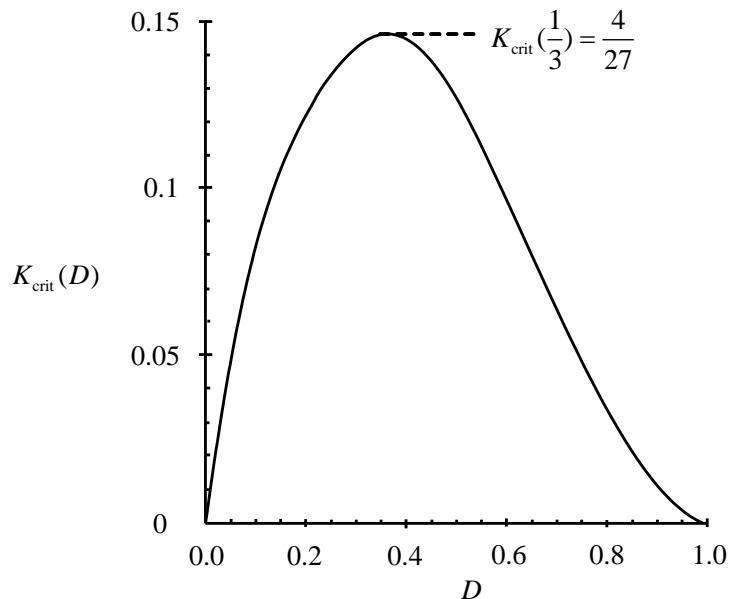


图2.22 (a) Boost变换器的 $K_{crit}(D)$

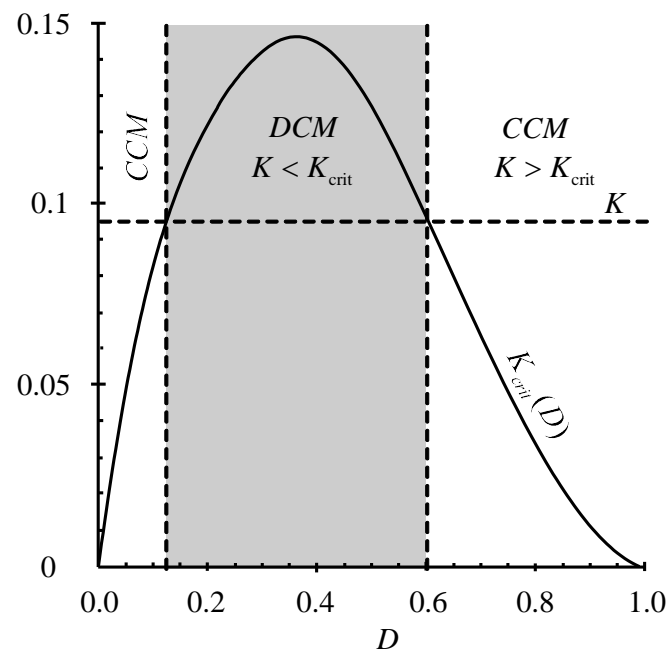
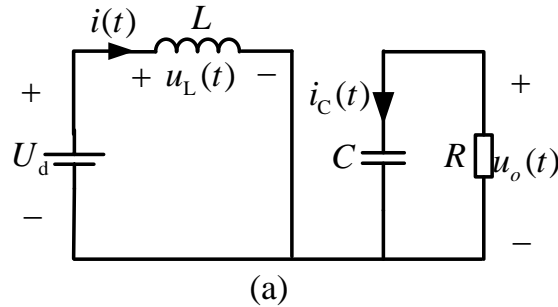


图2.22 (b) K 与 $K_{crit}(D)$ 的比较

$K_{crit}(D)$ 与占空比 D 的关系绘于图2.22(a)在 $D=0$ 和 $D=1$ 时 $K_{crit}(D)$ 为零,在 $D=1/3$ 时为最大值 $4/27$ 。因此,如果 K 大于 $4/27$,则对于所有的 D 变换器均工作于连续导通模式。图2.22(b)说明了当 K 小于 $4/27$ 时的情况。在 $D=1/3$ 附近的 D 值范围,变换器工作于断续导通模式但是,在 $D=0$ 和 $D=1$ 附近,变换器工作于连续导通模式。由于Boost变换器在 $D=0$ 时纹波峰值趋近于零而其直流成分不趋于零,因此工作于连续导通模式。

2.3 直流升压变换电路（Boost电路）

Boost变换器的变换比



(a) 子区间1, $0 < t < D_1 T_s$, 晶体管导通

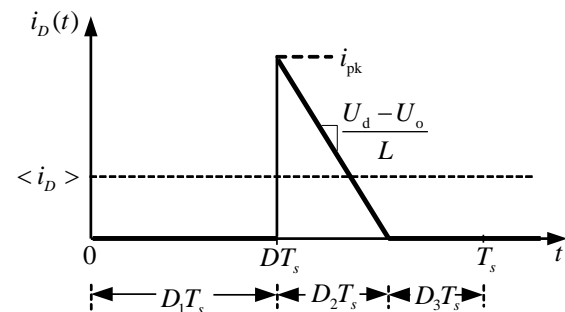
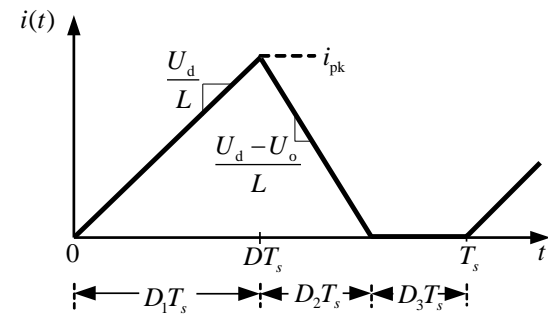
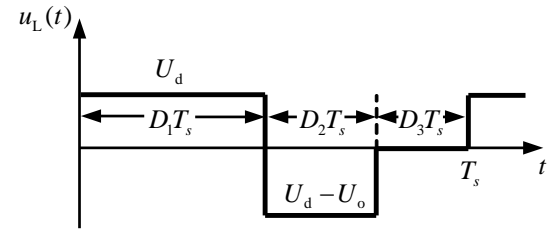
$$u_L(t) = U_d$$

$$i_C(t) = -\frac{u_o(t)}{R}$$

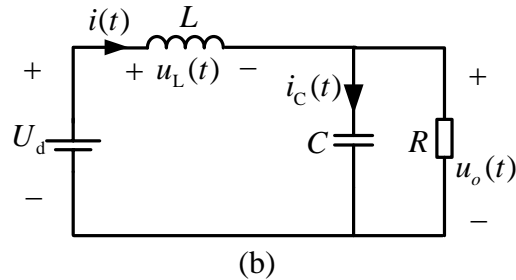
采用线性纹波近似，忽略输出电容电压纹波，得到：

$$u_L(t) \approx U_d$$

$$i_C(t) \approx -\frac{U_o}{R}$$



2.3 直流升压变换电路 (Boost电路)



(b) 子区间2, $D_1T_s < t < (D_1 + D_2)T_s$, 二极管导通

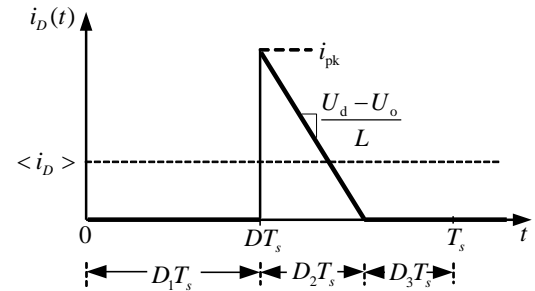
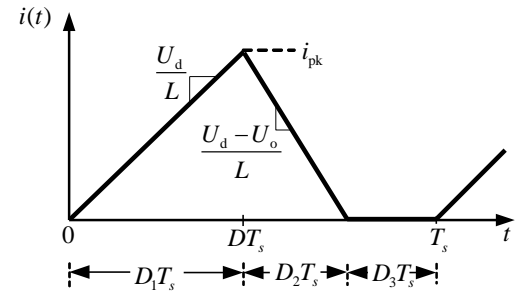
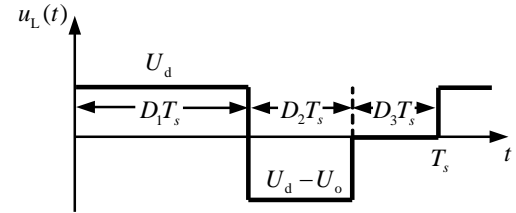
$$u_L(t) = U_d - u_o(t)$$

$$i_C(t) = i(t) - \frac{u_o(t)}{R}$$

采用线性纹波近似, 忽略输出电容电压纹波, 得到:

$$u_L(t) \approx U_d - U_o$$

$$i_C(t) \approx i(t) - \frac{U_o}{R}$$



2.3 直流升压变换电路 (Boost电路)

(c) 子区间3, $(D_1 + D_2)T_s < t < T_s$,

晶体管 and 二极管均处于截止态

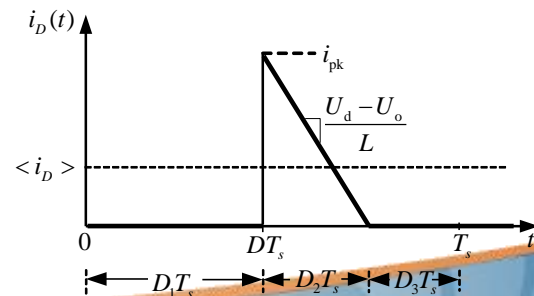
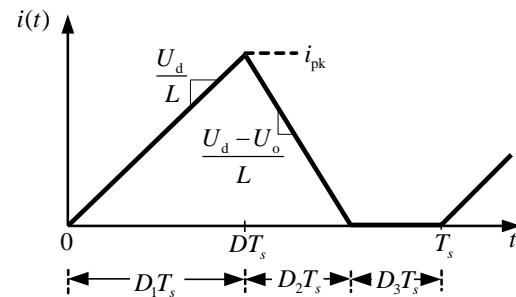
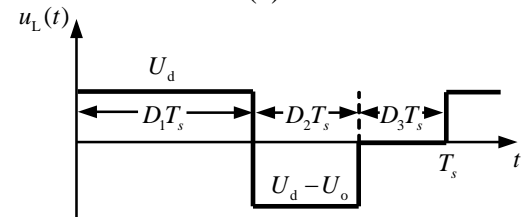
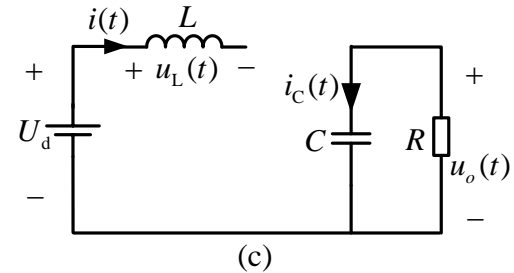
$$u_L = 0, \quad i = 0$$

$$i_C(t) = -\frac{u_o(t)}{R}$$

采用线性纹波近似, 忽略输出
电容电压纹波, 得到:

$$u_L = 0$$

$$i_C(t) = -\frac{U_o}{R}$$



2.3 直流升压变换电路 (Boost电路)

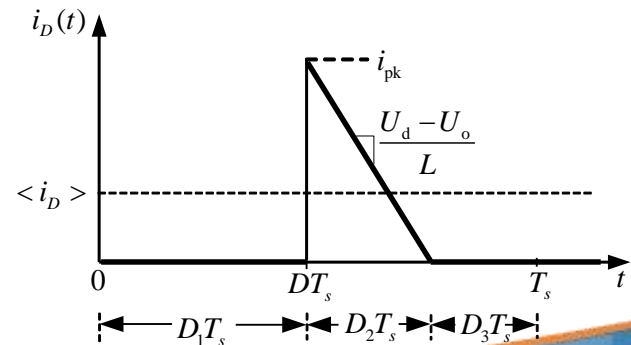
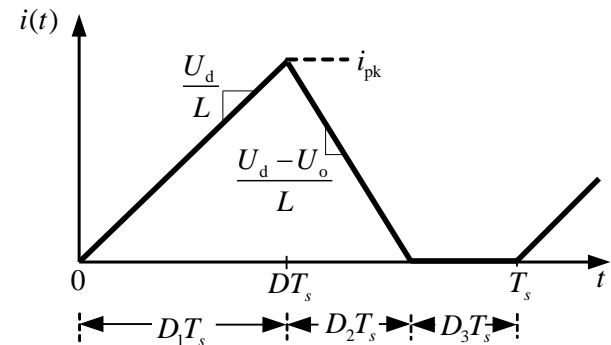
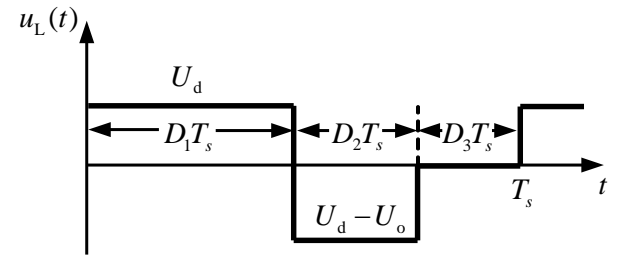
根据电感伏秒平衡原理，
稳态时此波形的直流成分必须为零。

$$D_1 U_d + D_2 (U_d - U_o) + D_3 (0) = 0$$

解得

$$U_o = \frac{D_1 + D_2}{D_2} U_d$$

$D_2 = ?$



2.3 直流升压变换电路（Boost电路）

在Boost变换器中二极管的阴极与输出节点相连。输出节点的电流方程为

$$i_D(t) = i_C(t) + \frac{u_o(t)}{R}$$

根据电容安秒平衡，稳态时电容电流 $i_c(t)$ 的直流成分必须为零。因此，二极管电流直流成分 $\langle i_D \rangle$ 必须等于负载电流的电流成分

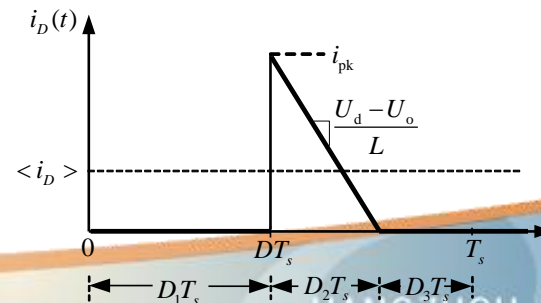
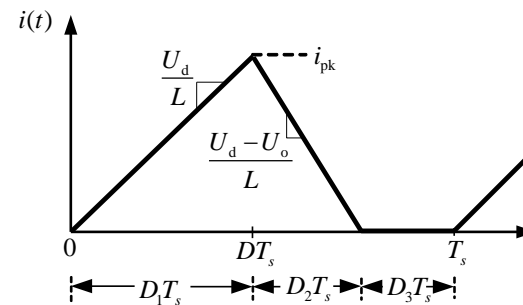
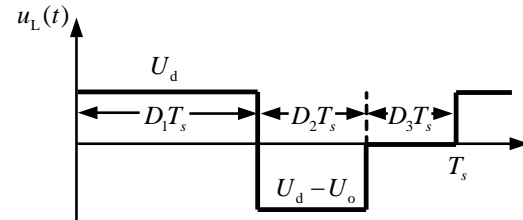
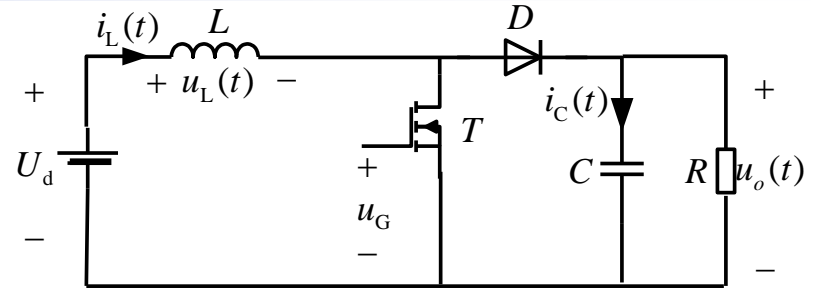
$$\langle i_D \rangle = \frac{U_o}{R}$$

电感电流的峰值为：

$$i_{pk} = \frac{U_d}{L} D_1 T_s$$

二极管电流的直流成分 $\langle i_D \rangle$ 为

$$\langle i_D \rangle = \frac{1}{T_s} \int_0^{T_s} i_D(t) dt$$



2.3 直流升压变换电路（Boost电路）

即为：

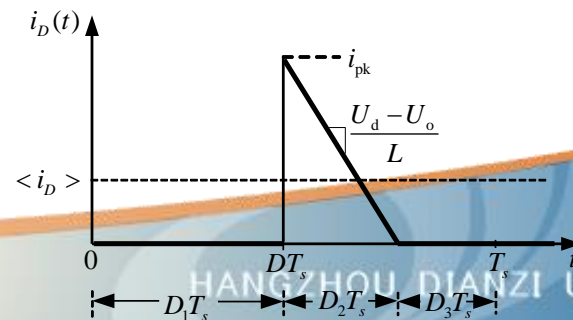
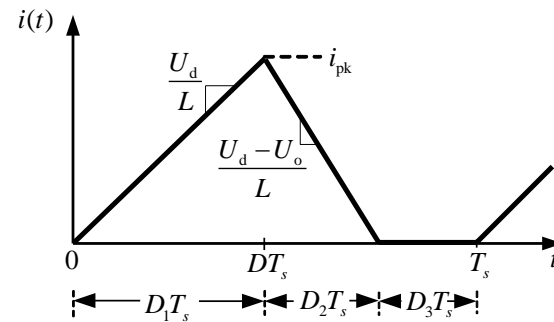
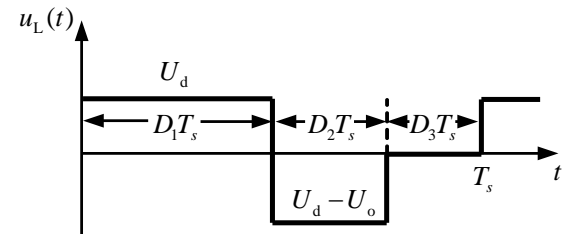
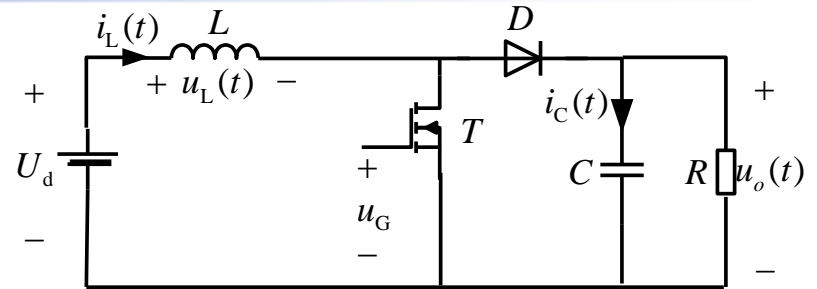
$$\int_0^{T_s} i_D(t) dt = \frac{1}{2} i_{pk} D_2 T_s$$

得到：

$$\langle i_D \rangle = \frac{1}{T_s} \left(\frac{1}{2} i_{pk} D_2 T_s \right) = \frac{U_d D_1 D_2 T_s}{2L}$$

得到：

$$\frac{U_d D_1 D_2 T_s}{2L} = \frac{U_o}{R}$$



2.3 直流升压变换电路 (Boost电路)

联立方程组:

$$U_o = \frac{D_1 + D_2}{D_2} U_d \quad \frac{U_d D_1 D_2 T_S}{2L} = \frac{U_o}{R}$$

解得

$$\frac{U_o}{U_d} = \frac{1 \pm \sqrt{1 + \frac{4D_1^2}{K}}}{2}$$

取正值

$$\frac{U_o}{U_d} = M(D_1, K) = \frac{1 + \sqrt{1 + \frac{4D_1^2}{K}}}{2}$$

近似为

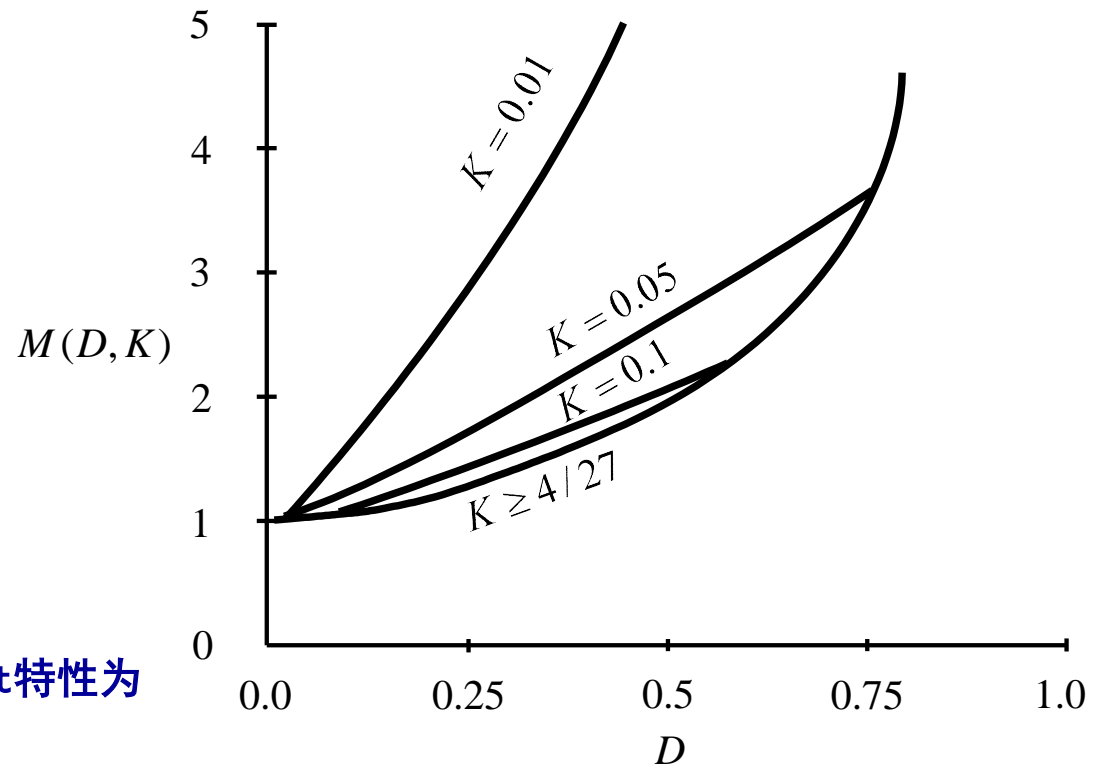
$$M \approx \frac{1}{2} + \frac{D}{\sqrt{K}}$$

其中 $K = 2L / RT_S$, 对于 $K < K_{\text{crit}}(D)$ 成立。

2.3 直流升压变换电路 (Boost电路)

$$M = \begin{cases} \frac{1}{1-D} & \text{对于 } K > K_{\text{crit}} \\ \frac{1 + \sqrt{1 + \frac{4D^2}{K}}}{2} & \text{对于 } K < K_{\text{crit}} \end{cases}$$

包含连续和断续导通模式的完整Boost特性为



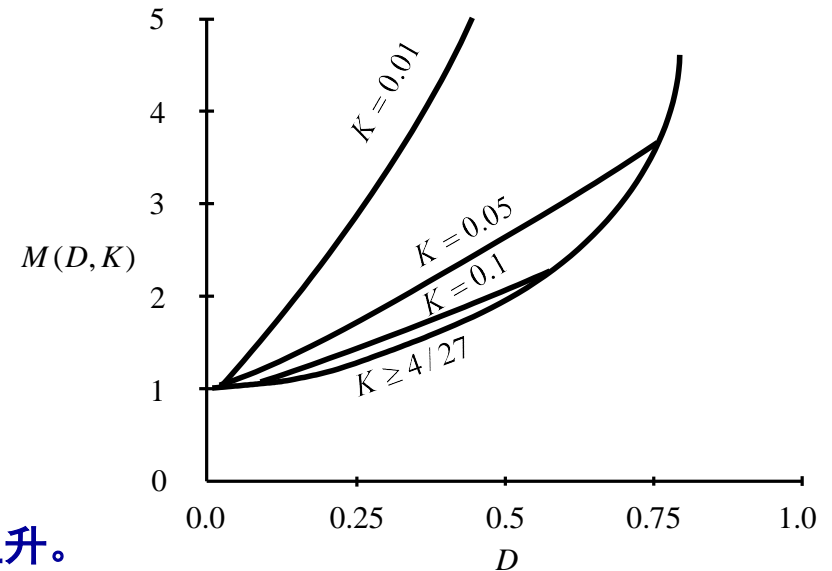
Boost变换器电压变换比M(D)

2.3 直流升压变换电路（Boost电路）

包含连续和断续导通模式的完整Boost特性为

$$M = \begin{cases} \frac{1}{1-D} & \text{对于 } K > K_{\text{crit}} \\ \frac{1 + \sqrt{1 + \frac{4D^2}{K}}}{2} & \text{对于 } K < K_{\text{crit}} \end{cases}$$

与Buck变换器一样，断续导通模式引起输出电压上升。



Boost变换器电压变换比 $M(D)$